# 國造二〇公厘濕式導電藥底火之電阻調配

# 方淳民<sup>1</sup> 陳一葳<sup>2</sup> 趙嘉琦<sup>3\*</sup>

1逢甲大學光電科學與工程學系 2空軍航空技術學院機械工程科 3陸軍軍官學校機械學系

# 摘 要

本文旨在優化二〇電底火製程,滿足 M52A3B1 電底火性能規格,較顯著者為調整電阻。配方中乙炔黑、矽化鈣與硝酸鋇均予以研究,操作中除水方法亦予改善,使符合預設之電阻要求。相關設計之實驗,將之介紹。濕式導電藥底火的設計不僅具先進之設備及採濕混藥特色,其更擁有發展成熟之導電路徑理論深藏其內。該等包括乙炔黑導電路徑、矽化鈣隔離、甚至可稱為電阻穩定佈局。底火藥配方含有乙炔黑用作導電劑,且單一使用其為之,並經裝藥、壓藥等道次置入底火盂待用。基於路徑矩陣理論,其粒徑分布、壓藥條件與點火條件密不可分,且須由實驗驗證。本研究有相關實測證實,並指出相關生產要因與製程控制要點。

關鍵詞:導電藥底火,路徑矩陣,電阻

# Allocating Resistance on ROC 20mm Wet-mixed Conductive Mixture Primer

# Chun-Min Fang<sup>1</sup>, Yi-Wei Chen<sup>2</sup> and Chia-Chi Chao<sup>3\*</sup>

<sup>1</sup>Department of Optoelectronic Science and Engineering, Feng Chia University <sup>2</sup> Department of Mechanical Engineering, ROC Air Force Institute of Technology <sup>3</sup> Department of Mechanics, ROC Military Academy

#### ABSTRACT

The process of manufacturing a conducting composition primer which meets the performance specifications of the M52A3B1 electric primer possesses significantly adjusted resistance to initiation has been examined. Three component mixes consisting of acetylene black, calcium silicide and barium nitrate were investigated. The de-watering procedure was assessed as alternatives to be satisfactory to desirable resistance. Further test results behind the design are recommended. The wet-mixed designs of conductive mixture primers go beyond a few advanced equipment and moist mixtures and have full-fledged path matrix principle inside them. These often include acetylene black path matrixes, isolated calcium silicide and in one case, a stable resistance arrangement. When only acetylene black is filled and compressed into the cup, the primer mix contains acetylene carbon black as the electrically conductive ingredient. The particle size distribution and compression condition of ignition process of electric primer is obtained from experiment which based on path matrix theory. The results indicate that the desired characteristics can be achieved by manufacture procedure control.

**Keywords:** conductive mixture primer, path matrix, resistance

文稿收件日期 112.11.21; 文稿修正後接受日期 113.7.17;\*通訊作者 Manuscript received Nov 21, 2023; revised Jul 17, 2024; \* Corresponding author

## 一、前 言

M52A3B1 式 20 公厘電底火通用裝配於各種 20 公厘全彈,適用於空用「M39 機砲(國造系統擴展為海、陸用 T75 機砲)」、空用 M61 機砲、陸航用 M197 機砲及海用方陣等系統,十分犀利。美制空優武器之開發,以朝向快速射擊、密集彈著、徹底破壞為發展指引,而任何要達此種效果之武器,則必須配合極快速之發火裝置,才能達到預期之功能。國造 20 公厘電底火之發展,即朝該目標邁進。明確掌握其發火的能量來源與控制條件是製程中亟待解決之問題,亦為本文研究之目的。

# 二、文獻回顧

電底火種類、程式甚多,但其概分為兩種 (一)電熱絲式底火(Wired primer),(二)導 電藥式底火(Conductive mixture primer)。

回顧美軍電底火的發展演進,最先在二戰後改進德國電熱絲式底火,於射速較低系統有不錯之效果。然在 50 年代研發伺服馬達驅動速射機砲擊發機構使用時,因電流加熱電阻絲需較長時間,致有遲發火、不發火等疵病藥製程較繁複另成本亦高,故改朝導電底火藥配方,命名為法蘭克福兵工廠 874 號配方(FA-874)、M52A3B1 電底火。後雖發展 FA-878 錯系底火藥、M52A4(5)等電底火,然因過度發火、膛壓過高、口焰太大等系統匹配問題而放棄,仍維持 FA-874 配方、M52A3B1 電底火為 20 公厘彈藥標準底火[1]。

國軍使用美式裝備後,於70年代憬悟二 電底火之重要,於焉始創研究,初由孔祥洪、 徐聲亮、陳福盛等兵工前輩投入研究[2],試造 試誤,百折不回;續為求永續,戮力學理原則 [3],雖非創立新說,然綜合整理之餘,必有心 得。時已知所謂導電藥即在底火藥內混配有一 定量導電顆粒,當電流通入導電顆粒形成的通 路後,導電粒開始發熱,然後再將其四周的起 爆藥引爆。

更進一步表述導電藥發火機制者為蕭建 生等對導電式點火頭之研究[4],提出起爆機 構為局部熱點,如何經由外來的能量已形成有 效的熱點為其發火成功的關鍵,惟其製程為乾 式製程。而其發火特性與導電物之物化性、粒 徑,及起爆藥種類、發火電壓、電阻等參數須 藉實驗找到最佳條件。整個點火頭導電藥之導 通電路如圖1所示,為一條由石墨顆粒間相互碰觸所形成不均勻的隨機電路,於是電流通過這些電路時,熱量集中在截面最小部份,形成許多熱點。粒狀與片狀石墨特性不同,當粗細兩種混在一起,利於熱點生成。

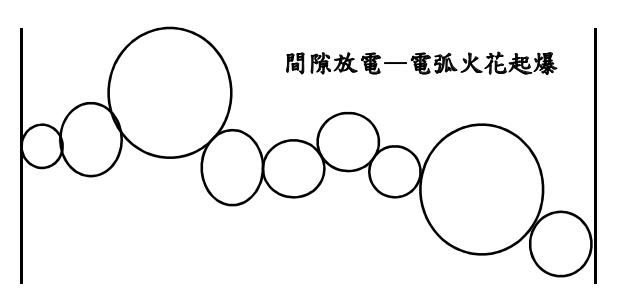


圖 1. 電點火頭之石墨導通電路

沿襲電點火頭之乾式製程,宣仲華、吳宗欣等研製二〇電底火成功並量產[5],針對發火特性,經由實驗認導電度由乙炔黑與矽化鈣所提供,電阻分佈範圍由矽化鈣的粒度所換度,當矽化鈣粒徑愈大,其敏感度愈高成之的數域之電底火,其電阻值個別差異也越大,其電阻值個別差異也越大。 數電點火頭比較,同為乾式製法,但將石墨之電阻抗角色,改由乙炔黑與矽化鈣取代,或 電阻阻抗角色,改由乙炔黑與矽化鈣取代,亦 能發火。

## 三、導電結構與路徑矩陣

M52A3B1 式 20 公厘電底火由火帽盂、墊片、絕緣環、底火藥、紙箔、觀盂等六種另件精密配合而成,其結構如圖 2。其發火系統乃由正極觸及墊片,經底火藥本身因電能付與後,因阻抗將電能轉為熱能,瞬間引爆起爆藥,整個底火作用時間低於萬分之三秒。已知裝配成 20 公厘全彈,使用於 M39 機砲,射速每分

鐘至少為 1,500 發,以 M61 機砲射擊更高達 5,500 發以上,故電底火品質要求特別高。

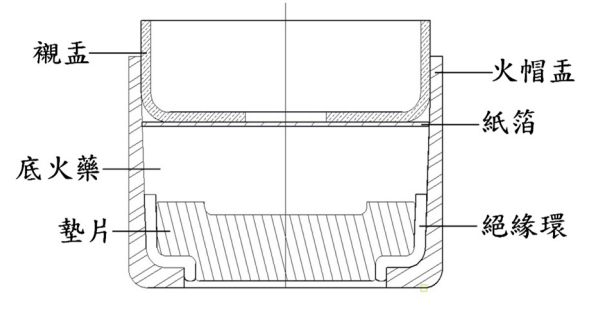


圖 2. 電底火結構圖

圖 1 中火帽盂、墊片、絕緣環先組裝成一次合成品,須承受 900 V、60 Hz 之高電壓,經 0.2 秒,而絕緣環無擊穿、邊緣燒灼、閃光等 穿 損 現 象 。 底 火 藥 成 品 重 量 為  $0.1720\sim0.1950$  g,電阻值為  $1,000\sim1,200,000$   $\Omega$ ,最高擊發電壓為 160 V,平均擊發電壓小於 160 V,底火作用時間為 $3\times10^{-4}$  sec。底火藥 組成採用 FA-874 配方,成份如表 1:

表 1. FA-874 底火藥配方

項次	成份	百分比%	功用
1	史帝芬酸鉛	40±2.5	起爆劑[17]
2	硝酸鋇	44.25±2.5	氧化劑
3	矽化鈣	13±2.5	燃料 活性劑
4	乙炔黑	0.75±0.25	導電劑
5	三硝基 間苯二酚	1±0.25	傳爆劑 鈍化劑
6	阿拉伯膠	1±0.25	結合劑

電底火不同於小口徑機械式及發底火,而是電流引發式,快速而作用力強。其作用超為為整片作為導電座,與火帽盂之間隔以配電壓、與外帽盂之間隔級。擊針觸及墊片;負極經火帽盂、銅殼與個電人藥人藥因電阻生熱使其中起爆與人達到高速射擊之要求。起爆藥本身敏感是重要的,當電流通過電底火瞬間,產生生別人。其原理以基本電路學說明:

$$I = V/_{R} \tag{1}$$

$$W = IV (2)$$

$$Q_1 = Wt (3)$$

其中 I 為電流、V 為電壓、R 為電阻、W 為電功率、t 為作用起爆藥起爆時間。

$$Q_2 = C_p V_c \rho (T_2 - T_1)$$
 (4)

式中 Cp 為起爆藥比熱、Vc 為起爆藥顆粒 體積、ρ 為起爆藥密度、T2 為起爆溫度、T1 為初始溫度。當 Q1>Q2 起爆藥引爆。

濕式底火藥以類似混凝土構造方式,將粗細顆粒狀材料嵌入起爆藥與水、膠混合成的底火泥。在各顆粒縫隙間由粒徑最小者填充滲入,如其具有導電與電阻生熱效果,即成為設定之導電劑,其網絡式分布稱為路徑矩陣(Path matrix),以圖 3~圖 6 說明。

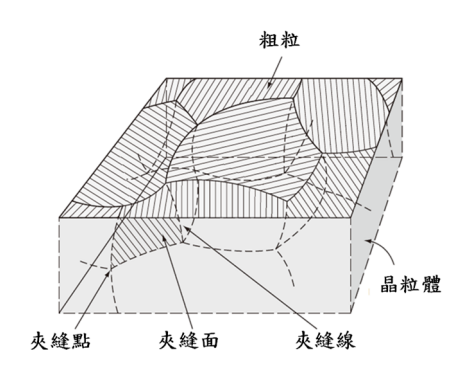


圖 3. 底火藥立體示意圖

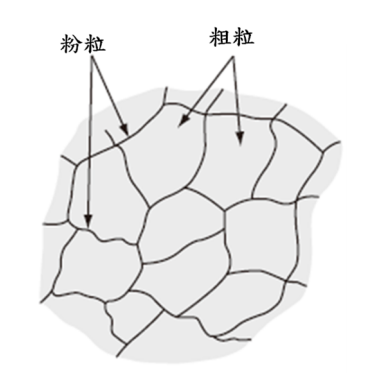


圖 4. 導電網絡切面示意圖



圖 5. 導電路徑鄰接示意圖



圖 6. 導電路徑矩陣示意圖

濕式底火配方選用係基於已知的實例,導 電劑更是如此。不同於乾式底火者,濕式底火 導電劑單獨使用乙炔黑,並設計阻止矽化鈣干 擾乙炔黑之導電生熱。其中導電劑一定採用碳 鏈者,因對其性質信賴與掌握,因乙炔黑與石 墨同屬碳鏈成分,且粒徑更小,低於 10 µm, 且其電阻值在各種壓藥操作下,極為穩定,雀 屏中選。乙炔黑之碳粒極小,使其能充填粗粒 間隙,並且黏附其表面,其間微小孔洞或介面 被碳粒佔據,經壓藥操作而成導電路徑。在裝 藥侷限空間內,卻也綿密如三度空間網絡。總 之, 眾多導電路徑形成一複雜而縱橫交錯網 路,其中最小電阻路徑者,成為底火電阻,也 决定底火性能, 電流會沿此路徑瞬間集中。此 時電流由這個導電粒子傳到下一個接觸的導 電粒子,電流沿著這一條導電通路傳導,而熱 的產生卻集中在這條導電通路的導電粒子接 觸點上,如圖7所示。

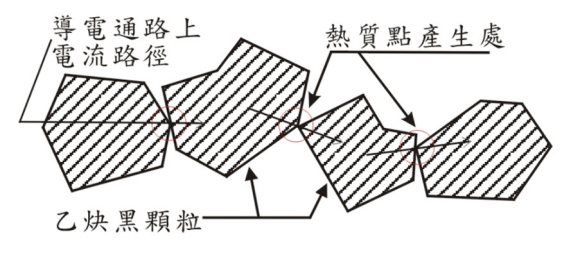


圖 7. 熱點集中示意圖

# 四、結果與討論

#### 4.1 乙炔黑之電阻

濕式底火設計以單獨使用乙炔黑為導電劑,但其本身為鬆散之粉末,量測各種操作條件下乙炔黑電阻,尤其是不同壓縮程度下之預測,對濕式底火操作非常重要,將其裝入藥模,以油壓機壓成藥錠,測其電阻,Kg/cm²油壓機錶示單位,實驗結果如圖8。

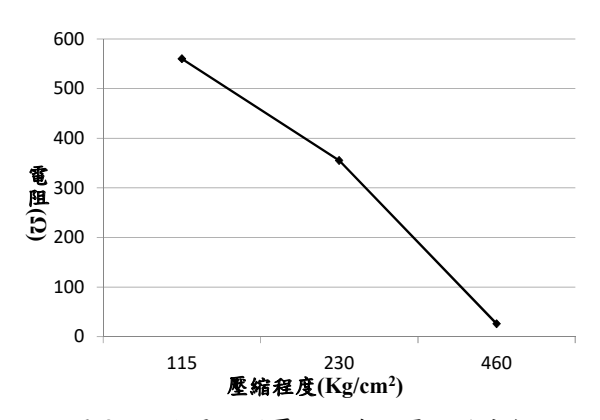


圖 8. 乙炔黑不同壓縮程度之電阻值分析

#### 4.2 矽化鈣導電性之影響

二矽化鈣(Calcium Silicide, CaSi2)常慣稱矽化鈣,須符合美軍規格 MIL-C-324C[9],係一種無機化合物,熔點 1033°C 的白色或暗灰色至黑色固體物質。雖然相關物質安全資料表均顯示不溶於水,但同規格警告其遇到水時可能分解產生氫氣和生成氫氧化鈣,易燃。美軍研究[10]可在空氣中自燃,推測此可能粒徑小助長反應。反應式如下:

$$CaSi2 + 2.5 O2 \rightarrow CaSiO3 + SiO2$$
 (5)

工業矽化鈣主要含有的雜質通常為鐵和鋁以及少量的碳和硫。更有重要者,有關電性之研究[11,12],皆顯示其不穩定且不確定。文獻[1]亦記載,矽化鈣須經前處理,再加入底火藥混配。如是處理,濕底火藥於裝藥前有較長暫存期,且成品不致出現電阻漫遊幅度過大現象。故須對其實施鈍化處理,且借助阿拉伯膠對其抑制。惟處理方式略以史蒂芬酸[13]洗滌,細節未述。

國造濕式底火作法為混藥前,矽化鈣以史蒂芬酸水溶液(0.6 g/l)包覆,使之鈍化。其製備程序係將 11.793 Kg 矽化鈣及 0.666 g 史蒂芬酸加入裝有 110 公升去離子水之容器,接著在室溫下攪拌 8 小時並靜置 2 小時沉澱,將上層水排掉,在用磁漏斗和真空器抽濾,然後將得到之矽化鈣移至 60°C烘房烘烘乾直到水份低於 0.5%以下,取出暫存待用。

對照將乙炔黑、矽化鈣及史蒂芬酸包覆矽 化鈣在 300 Kg/cm²條件下量測電阻如圖 9。

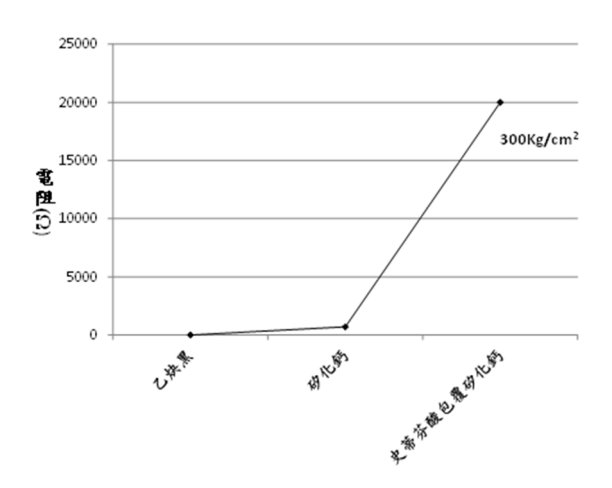


圖 9. 對照乙炔黑及矽化鈣處理前後電阻比較

更進一步,將包面矽化鈣、不包面矽化鈣 及不含矽化鈣三者配方均以小批量製成底火, 每種各隨機抽取 20 顆編號測試,量測全底火 雷阻如圖 10。

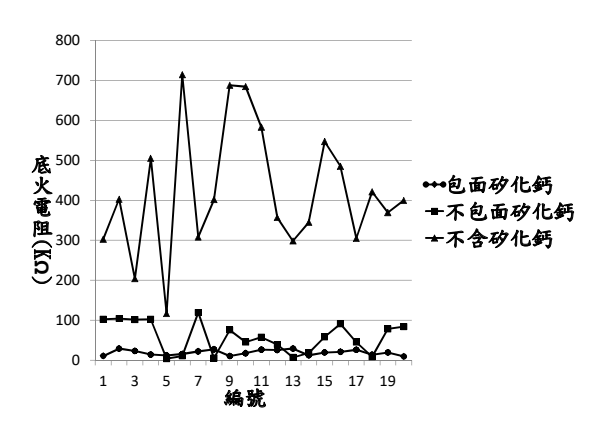


圖 10. 矽化鈣處理對底火電阻之影響

#### 4.3 硝酸鋇粒徑分佈對電阻之影響

硝酸銀本身非導體,但配方中比例最高,且粒徑影響底火之電阻。以標準作業程序,硝酸銀採用 MIL-B-162 (class 1)之合格品,使用前置於 50℃電烘箱 72 小時以上,純度 98.5%以上,粒徑大小原為小於 150μm 者 99.9%以上、小於 105μm 者 40%以上、小於 75μm 者 25%以下。使用篩分機將其篩分 3 部分,第 1 部分 105-150 μm,第 2 部分 75-105 μm,第 3 部分 45-75 μm。45-150 μm 代表者為第 1 部分 30%加第 2 部分 60%加第 3 部分 10%混合而成,75-105 μm 代表第 2 部分,105-150 μm 代表第 3 部分,三種規格之硝酸銀製作成底火,驗證硝酸銀粗粒徑、細粒徑與粗細混合微粒之硝酸銀對導電通道之影響。依標準作業程序中

之自動化流程,攜行板分攜裝藥之火帽盂與襯 盂,依序自動翻板循系進入襯盂壓裝道次,以 120TN 襯盂壓機將批量預合底火置入壓板之 下,設定加壓時間 5 分鐘,檢查全高與外徑合 格後,取其電阻量測如圖 11。

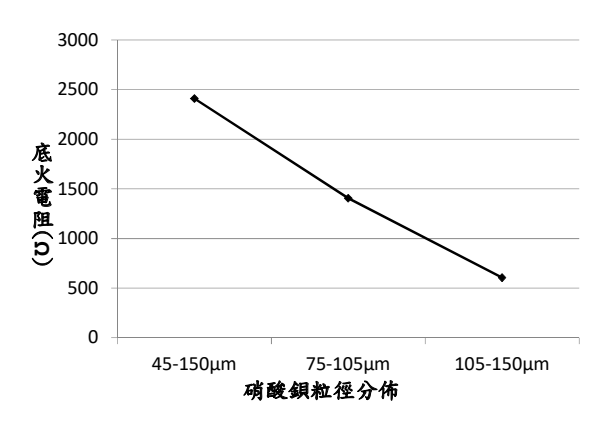


圖 11. 硝酸鋇粒徑與底火電阻之關連分析圖

#### 4.4 壓藥操作對電阻之效果

裝藥密度的增加,會使底火電阻下降,一般藉由壓藥操作調控,其間力求避免有隨機不可預測性,尋找穩定區域,為掌握實際壓力對底火之影響,以作為校正、檢整疵品之用。俟程序自動至槻盂壓裝時,改採手動程序,取出單顆底火,改以油壓機壓入櫬盂,記錄操作壓力條件下之電阻,雖仍以硝酸鋇粒徑為樣品代表,但承受壓力測試者為全底火,包含矽化鈣本身及其包覆,乙炔黑、史蒂芬酸鉛等,實驗結果如圖 12。

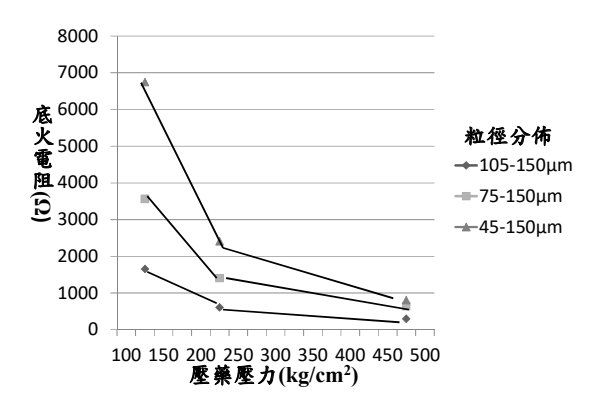


圖 12. 壓藥操作與底火電阻之關連分析圖

#### 4.5 水份對電阻之影響

濕式底火製程中之水份對電阻的影響,決 定最後烘藥操作條件的設定,並與品質有關, 實驗結果如圖 13。

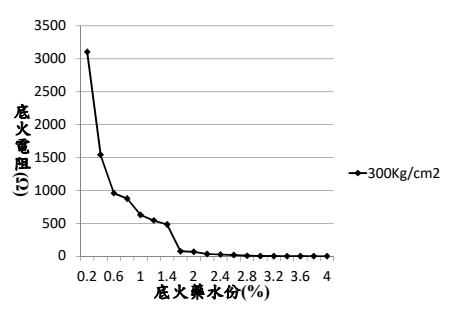


圖 13. 水分含量對底火電阻之影響

## 4.6 烘乾 (終烘) 與回壓對電阻之影響

美軍 MIL-DTL-1394G 規格[14]要求底火 成品電阻以 1.4 mA 及 7.5 V 條件下測定,須 在  $1 K\Omega$  至  $1,200 K\Omega$  之間,在襯盂、紙箔壓入 底火盂密封底火藥之操作後,須實施烘乾及必 要之襯盂重複回壓道次,作為成品電阻最後之 調整,因其已非半成品且為自動化操作,改以 烘乾時間與回壓次數觀察對電阻之影響。按原 廠技轉人員之講解示範,生產經襯盂壓裝自動 化道次後,抽驗外型尺寸,輸送帶進入100% 電阻自動檢測機,剔除疵品,即為合格底火, 並無終烘及回壓道次。後經檢討,自行增加此 二道次,用於調整電阻,大量降低報廢率。其 作法為自動化完成之底火,水分約為 0.3~0.5%, 送入 60~65℃烘房, 每日抽樣檢驗 平均電阻與樣板篩檢尺寸,因尺寸有不合格情 形,再視狀況運用氣壓機或油壓機將襯盂回 壓,使全高與外徑處於規格中線,為達無損害 檢驗之精神,凡經過電阻測試之底火,即予報 廢,不再重複使用,實驗結果如圖 14。其中回 壓 1 次及回壓 2 次,係指樣品經終烘 72 小時 後,實施襯盂回壓1次及2次,再量測樣品的 底火電阻值,横軸標示之操作條件係指一連續 系列的操作的各階段。

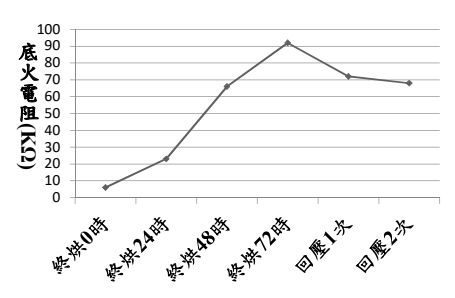


圖 14. 終烘回壓對底火電阻之影響

## 4.7 擊發敏感度與電阻之關聯

底火電阻除本身受規格規範外,與擊發敏 感度有密切關聯。美軍規格要求電發火感度為 使用 2μF 電容放電,時間 10 ms,平均擊發電 壓加上 3 倍標準差需低於 160 V。電阻影響擊 發電壓之因素頗為複雜,多藉實驗統計[15], 實驗結果如圖 15。

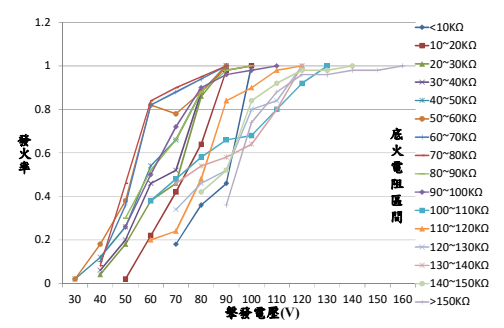


圖 15. 擊發敏感度與底火電阻之關聯

#### 4.8 討論

本研究實驗 FA-874 導電底火藥,探討導電劑選優及調適濕式製程及發火電阻的影響, 其討論要項如下:

- (1) 濕式底火從理論、實驗分析,碳鏈具有良好之導電性與可預測之熱功效率,故沿用碳鏈系列之導電劑。選擇乙炔黑係因其碳粒粒徑較石墨更小,僅少量即可形成符合設計之導電路徑矩陣,另其在壓縮狀況下,具有類線性之電阻性質,亦是優點。

亦可形成另一導電路徑,並成並聯關係。 因在導電路徑中,二電阻並聯在一起,總 電阻會變小,因每個電阻都能提供一條路 徑,讓電流通過,相當於增加了通路,電 流容易通過電路中的各個電阻,從而總電 阻變小。 $\frac{1}{R_{Total}} = \frac{1}{R_1} + \frac{1}{R_2}$ 為其計算通式,學 理上單獨導電路徑電阻值高於並聯電阻 值。故不含矽化鈣配方的單一乙炔黑導電 路徑底火電阻值較高。其二,或認並聯導 電路徑僅為理想狀況,乙炔黑與矽化鈣實 際上仍可能混雜形成複雜串聯導電路徑, 在此情況下,乙炔黑的鬆緊程度成為關鍵, 即受侷限空間壓縮的狀態,極大地影響底 火電阻值。乙炔黑在鬆散狀態,自身結構 不緊密,電阻值較高;然在壓縮狀態,結 構緊密,電阻值較低。在無矽化鈣配方狀 態下,狹縫中僅有乙炔黑存在,受壓程度 驟降,結構較不緊密,電阻值較高。反之, 狹小空間同時擠入乙炔黑及矽化鈣,則促 使乙炔黑受壓,結構緊密,電阻值變低。 故不含矽化鈣配方的單一乙炔黑導電路徑 底火電阻值亦較高。

- (4) 硝酸鋇並非導體,在導電路徑中之佈置為 構建狹縫,建立羊腸小徑,硝酸鋇是腸壁, 如圖 4、5、6,乙炔黑是粉粒,硝酸鋇是腸壁, 如圖 4、5、6,乙炔黑是粉粒,硝酸鋇是粗 粒之一且為硬度最高者。以粒徑分佈而言, 粒徑範圍大,大小混雜之顆粒,最能產生 崎嶇坎坷的導電通道,使電阻升高,產生 熱點。以實驗推斷,粒徑分佈集中且大者 105~150 μm 最不易造成通道凹凸。反之, 分布較不集中之 45~150 μm 易形成坑疤, 兩隆起間,壓擠乙炔黑使之變細窄,電阻 增加,故 45~150 μm 之粒徑分佈最佳。
- (5) 壓藥壓力對於底火的電阻值也有很大影響,當壓藥壓力變大時,乙炔黑的顆粒也就越容易靠近,導電粒子的分布密度較高,因此會產生更多的導電通路,造成電阻值會較低,所以壓藥壓力較大會造成電阻較低,而壓藥壓力不足造成電阻升高。
- (6) 水份的存在與緩衝,大量減少操作危險性, 此是濕式底火最大優勢;但水份的存在亦 會干擾導電通路,影響電阻。水份因溶解 硝酸鋇,解離成鋇離子和硝酸根離子,而 產生導電性。根本解決之道仍須將其去除 或降低至不影響品質範圍。
- (7) 熱風烘乾是最經濟安全之去除水份方式, 然而烘乾後的底火非常敏感,致電阻品質

與操作風險必須相互配合。總結試造經驗, 在混藥、掃藥、壓藥前,人工步驟難免,考 量操作特性,水份應維持 10%左右,以維 安全。其因水份高,如同接地,且導電路徑 與電流皆無法形成熱點,安全性高。接續烘 底火時,底火藥已置入火帽盂與墊片中,操 作自動化且須逐步達成電阻規格要求,水分 應降至2~3%,因尚有壓入紙箔、襯盂等加 壓道次,仍須有一定水份存在,既可保持 電阻於定值且不致於過於敏感,妨礙加壓 動作。最終烘底火道次,底火藥已成密封 狀態,水份進出量微且慢,其最佳含水量 應設定 0.3%以下,回壓亦應間接以壓入襯 盂方式微調。終烘時底火已為成品狀態, 襯盂下均裝有箔紙,水分進出均有阻隔作 用,應非主要影響,更重要者,判為底火 之熟成、膨脹與消除應力等熱處理過程與 冷擠作用,其間膠合劑之硬化、熟化,乙 **炔黑分子結構與晶相,底火藥體積熱脹等** 因素均使電阻值增加,冷卻後以回壓增加 外部應力,又使電阻值降低。

- (8) 在電底火中,係靠著電阻來進行發熱點火的作用,然底火的電阻卻隨著壓藥壓力,然底比例電阻的的製程不同成分混合的製程不同成分混合的製工。與提供的實理,所需具備的特性為:①電阻特性。與實性,會可靠性;②化學特性:化學安電性良好、低吸濕性、環境安定性佳;③、熱度特性:熱安定性高、熱膨脹係數低,數數循低以及熱的傳導性高。
- (9) 參照美軍研究[16]與試造紀錄[6],就擊發 敏感度而言,電阻值設定 20~30 KΩ 為佳, 因其擊發電壓 50~80 V 最為集中,標準差 最低。

#### 五、結論

國造 20 公厘電底火電阻之研究,標準配 方條件不變動要求下,實驗主要影響因素,其 結論可歸納如下:

- (1)壓藥壓力對於底火的電阻值也有很大影響,當壓藥壓力變大時,乙炔黑的顆粒也就越容易靠近,導電粒子的分布密度較高,因此會產生更多的導電通路,造成電阻值會較低,所以壓藥壓力過大可能會造成電阻較低,而壓藥壓力不足除造成電阻升高。
- (2) 實驗顯示在相同條件下,分布在底火藥的

非導電粒子粒徑越小,所產生的電阻值會 越高,其原因是在相同重量的導電粒子條 件下,粒徑小的粒子數量會較多,此時 來內非導電粒子的總表面積較大,造 非導電粒子兩接觸顆粒間的間隙會變 於是導電通路變的越少,導電粒子的分布 密度會降低,造成導電路徑相對變少,於 是電阻值較高。

- (3) 導電劑以乙炔黑為主,矽化鈣仍應以史蒂 芬酸包覆鈍化,將其功能侷限於燃料。

# 誌謝

本文承陸軍官校機械系埔光一○○專案 管制暨資源挹注(計畫編號 ROCMA 112-WS-100-1-09),特此誌謝。

# 参考文獻

- [1] Stiefel, L. (Ed), <u>Gun Propulsion Technology</u>, Progress in Astronautics and Aeronautics, Vol.109, AIAA Inc., pp.13-16, 1988.
- [2] C43C 程序圖,二○公厘機砲彈電底火, 聯勤第二○五廠,1988。
- [3] 潘明峯、蔡東容、鄭昌頻、孫耀強、陳爾活,<u>輕兵器彈藥設計技術手冊</u>,聯勤第二 ①五廠,第4-57~61頁,1984。
- [4] 蕭建生、范宏知、蘇傾榮、宣仲華,"導電式底火頭發火特性及壓製之研究",第二屆國防科技學術研討會,桃園大溪,第 211-217頁,1993。
- [5] 宣仲華、吳宗欣,二○電底火發火特性研究, 中山科學研究院系統製造中心,1997。
- [6] 王三光,<u>聯勤「二○彈電底火生產製造工</u> 模具設備」案籌建紀實,(89)鴻嘻自 0847 號,聯勤第二○三廠,2000。

- [7] 徐福臨,二○公厘電底火壽限與電阻值變 化關聯之研究,國防大學理工學院應用化 學研究所碩士論文,桃園,2002。
- [8] 黃宗輝、徐福臨、劉復龍,"硝酸鋇粒徑與 溫度循環對二〇公厘電底火的擊發電壓 影響",火藥技術,第20卷,第2期,第 73-83頁,2004。
- [9] U. S. Army Armament, Munitions and Chemical Command, <u>Military Specification</u> <u>MIL-C-324C</u>, 1983.
- [10] Anderson, P. E., Yee, K., Homentowski E., Cheng G., Mehta N., Chen G., Stec, D. III, Hash M. C., Pearsonand, T., Culter, R. A., and Hartvigsen, J., Effect of Chemistry and Particle Size on the Performance of Calcium Disilicide Primers, Part 1 Synthesis of Calcium Silicide (CaSi<sub>2</sub>) by Rotary Atomization, U. S. Army Armament Research, Development and Engineering Center, AD-E403 273, Technical Report, Armet-TR-09055, pp.6, 2010.
- [11] 邱志誠,<u>鋰鋁/二硫化鐵電池峰壓產生原</u> 因之研究,國立臺灣大學化學工程研究所 碩士論文,臺北,1997。
- [12] 劉洤瑋,<u>從二矽化鈣合成片狀矽在鋰電池</u> <u>負極的應用</u>,國立臺灣大學化學工程研究 所碩士論文,臺北,2022。
- [13] 潘旭輝、許柏鴻、陳幸郎、趙嘉琦、劉台傑,"史蒂芬酸研製",火藥技術,第25卷,第1期,第39-46頁,2009。
- [14] U.S. Army Armament Research, Development, and Engineering Center, MIL-DTL-1394G(AR), Detail Specification, Primer, Electric: M52A3B1, 2006.
- [15] 方淳民、陳一蔵、趙嘉琦,"國造二○電底 火之電阻調配",第32 屆國防科技學術研 討會,桃園大溪,ND32-11210021,2023。
- [16] Bement, L. J., Holmes, C. J., McGrory, J., and Schimmel, M. L., An Investigation to Improve Quality Evaluations of Primers and Propellant for 20mm Munitions, Munitions Technology Symposium IV, Reno, Nevada, 1997.
- [17] 趙嘉琦、周壽錢、李世河、李建新、王寶龍,"國造傳火用史蒂芬酸鉛自動化生產之經驗",火藥技術,第17卷,第2期,第27-39頁,2001。